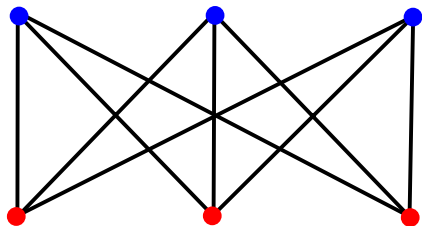


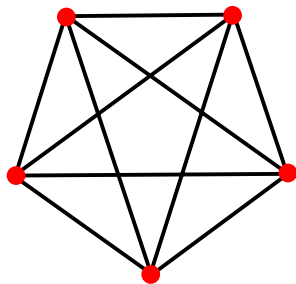
Graphes et surfaces

Francis Lazarus

GIPSA-Lab, CNRS, INPG



$K_{3,3}$

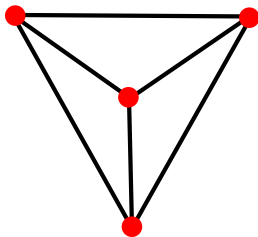
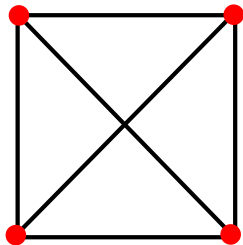


K_5

Définition

Un graphe est **planaire** s'il peut être dessiné *proprement* dans le plan (ou la sphère)

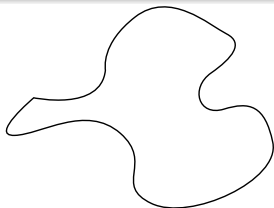
Exemple : K_4 est planaire



Question : $K_{3,3}$ et K_5 sont-ils planaires ?

Théorème de Jordan (1838-1922)

Toute injection continue $S^1 \rightarrow \mathbb{R}^2$ sépare le plan en deux composantes connexes, l'une bornée.



- 1ère preuve correcte : Veblen, 1905
- preuve formelle : Hales, 2005

Formule d'Euler, 1750

Théorème

Pour tout graphe dessiné dans le plan (ou la sphère)

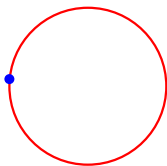
$$S - A + F = 2$$

S : # sommets,

A : # arêtes,

F : # faces = # composantes du complémentaire du dessin.

Preuve : Par récurrence sur A en utilisant le th. de Jordan



$$S = A = 1, F = 2$$



Théorème

$K_{3,3}$ et K_5 ne sont pas planaires.

Preuve pour $K_{3,3}$:

- Euler $\implies 2 = S - A + F = 6 - 9 + F$, i.e. $F = 5$
- $K_{3,3}$ bipartite \implies toute face a 4 côtés au moins
- incidences $(A, F) \implies 2A \geq 4F$, i.e. $9 \geq 10$.

Contradiction ! \square

Théorème

$K_{3,3}$ et K_5 ne sont pas planaires.

Preuve pour $K_{3,3}$:

- Euler $\implies 2 = S - A + F = 6 - 9 + F$, i.e. $F = 5$
- $K_{3,3}$ bipartite \implies toute face a 4 côtés au moins
- incidences $(A, F) \implies 2A \geq 4F$, i.e. $9 \geq 10$.

Contradiction ! \square

Théorème

$K_{3,3}$ et K_5 ne sont pas planaires.

Preuve pour $K_{3,3}$:

- Euler $\implies 2 = S - A + F = 6 - 9 + F$, i.e. $F = 5$
- $K_{3,3}$ bipartite \implies toute face a 4 côtés au moins
- incidences $(A,F) \implies 2A \geq 4F$, i.e. $9 \geq 10$.

Contradiction ! \square

Théorème

$K_{3,3}$ et K_5 ne sont pas planaires.

Preuve pour $K_{3,3}$:

- Euler $\implies 2 = S - A + F = 6 - 9 + F$, i.e. $F = 5$
- $K_{3,3}$ bipartite \implies toute face a 4 côtés au moins
- incidences $(A, F) \implies 2A \geq 4F$, i.e. $9 \geq 10$.

Contradiction ! \square

Théorème

$K_{3,3}$ et K_5 ne sont pas planaires.

Preuve pour $K_{3,3}$:

- Euler $\implies 2 = S - A + F = 6 - 9 + F$, i.e. $F = 5$
- $K_{3,3}$ bipartite \implies toute face a 4 côtés au moins
- incidences $(A, F) \implies 2A \geq 4F$, i.e. $9 \geq 10$.

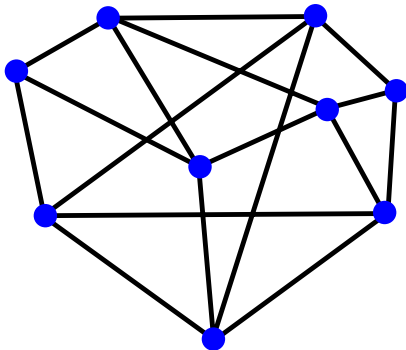
Contradiction ! \square

Théorème de Kuratowski, 1930

Un graphe est planaire ssi il ne contient pas (de subdivisions de) $K_{3,3}$ ni K_5 .

Théorème de Kuratowski, 1930

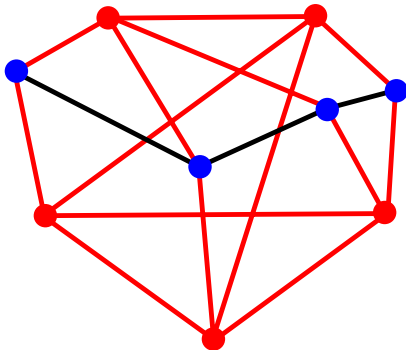
Un graphe est planaire ssi il ne contient pas (de subdivisions de) $K_{3,3}$ ni K_5 .



Graphes interdits

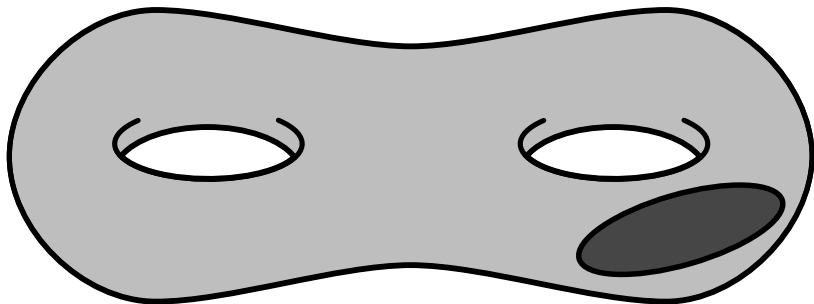
Théorème de Kuratowski, 1930

Un graphe est planaire ssi il ne contient pas (de subdivisions de) $K_{3,3}$ ni K_5 .



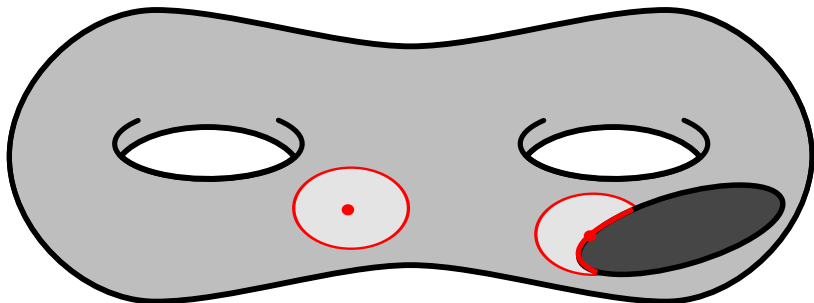
Définition

Une surface est une variété compacte de dimension 2.



Définition

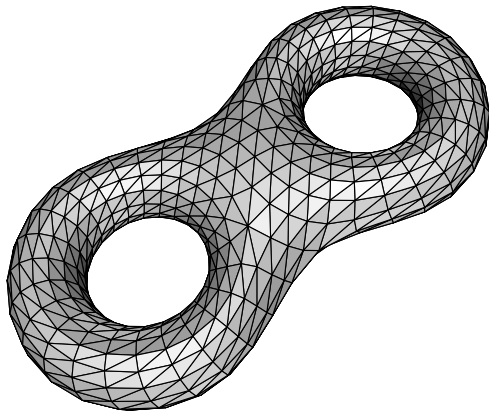
Une surface est une variété compacte de dimension 2.



Triangulation

Théorème de Radò, 1925

Toute surface est triangulable.



Définition

La caractéristique d'Euler d'une surface triangulée \mathcal{M} est

$$\chi(\mathcal{M}) = S - A + F$$

Théorème

$\chi(\mathcal{M})$ ne dépend pas de la triangulation de \mathcal{M} .

Définition

La caractéristique d'Euler d'une surface triangulée \mathcal{M} est

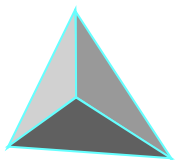
$$\chi(\mathcal{M}) = S - A + F$$

Théorème

$\chi(\mathcal{M})$ ne dépend pas de la triangulation de \mathcal{M} .

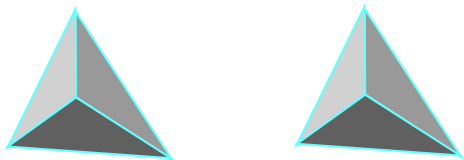
Corollaire

Toute surface est homéomorphe à un polygone dont les côtés sont recollés.



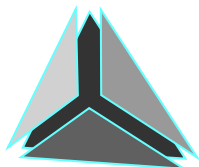
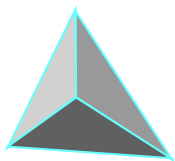
Corollaire

Toute surface est homéomorphe à un polygone dont les côtés sont recollés.



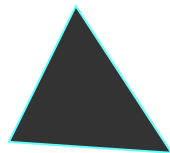
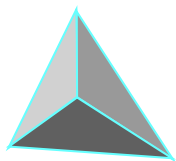
Corollaire

Toute surface est homéomorphe à un polygone dont les côtés sont recollés.



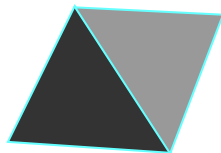
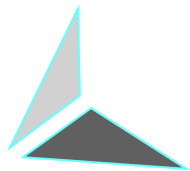
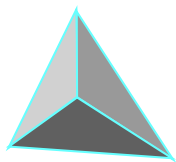
Corollaire

Toute surface est homéomorphe à un polygone dont les côtés sont recollés.



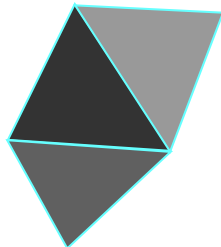
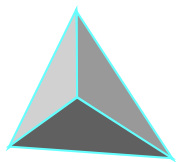
Corollaire

Toute surface est homéomorphe à un polygone dont les côtés sont recollés.



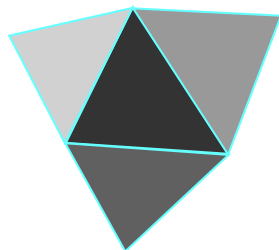
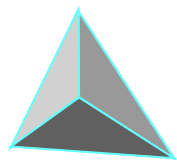
Corollaire

Toute surface est homéomorphe à un polygone dont les côtés sont recollés.



Corollaire

Toute surface est homéomorphe à un polygone dont les côtés sont recollés.



Corollaire

Toute surface est homéomorphe à un polygone dont les côtés sont recollés.

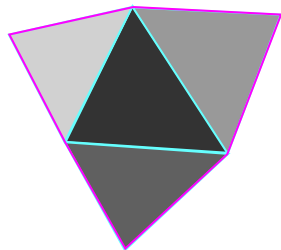
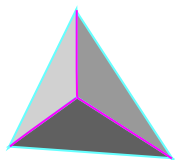
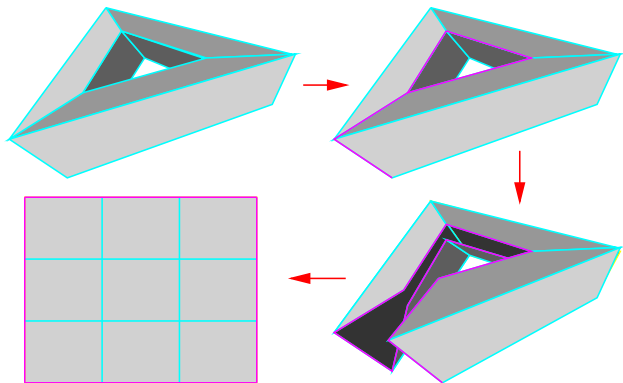


Schéma polygonal

Corollaire

Toute surface est homéomorphe à un polygone dont les côtés sont recollés.



Proposition (Brahana, 1921)

Toute surface admet un schéma canonique.

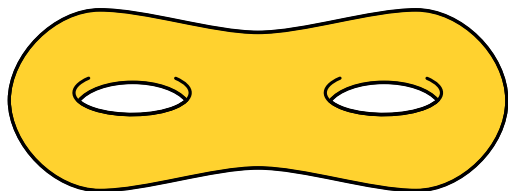


Schéma canonique de \mathcal{M}_2 : $(a, b, \bar{a}, \bar{b}, c, d, \bar{c}, \bar{d}) = [a, b][c, d]$

Schéma canonique de \mathcal{M}_g : $[a_1, b_1][a_2, b_2] \dots [a_g, b_g]$

Proposition (Brahana, 1921)

Toute surface admet un schéma canonique.

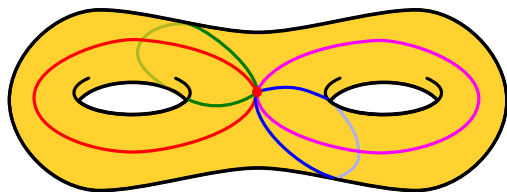


Schéma canonique de \mathcal{M}_2 : $(a, b, \bar{a}, \bar{b}, c, d, \bar{c}, \bar{d}) = [a, b][c, d]$

Schéma canonique de \mathcal{M}_g : $[a_1, b_1][a_2, b_2] \dots [a_g, b_g]$

Schémas canoniques

Proposition (Brahana, 1921)

Toute surface admet un schéma canonique.

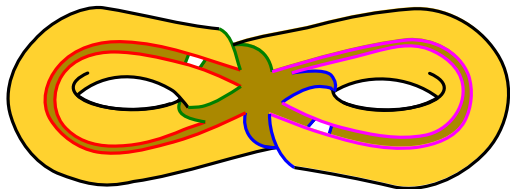


Schéma canonique de \mathcal{M}_2 : $(a, b, \bar{a}, \bar{b}, c, d, \bar{c}, \bar{d}) = [a, b][c, d]$

Schéma canonique de \mathcal{M}_g : $[a_1, b_1][a_2, b_2] \dots [a_g, b_g]$

Schémas canoniques

Proposition (Brahana, 1921)

Toute surface admet un schéma canonique.

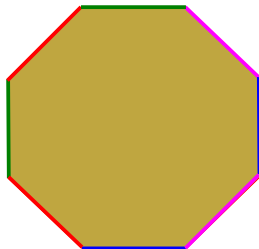
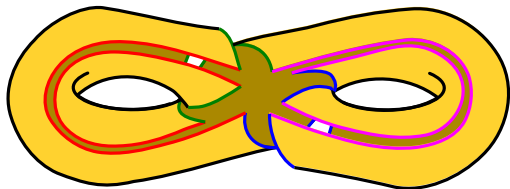


Schéma canonique de \mathcal{M}_2 : $(a, b, \bar{a}, \bar{b}, c, d, \bar{c}, \bar{d}) = [a, b][c, d]$

Schéma canonique de \mathcal{M}_g : $[a_1, b_1][a_2, b_2] \dots [a_g, b_g]$

Schémas canoniques

Proposition (Brahana, 1921)

Toute surface admet un schéma canonique.

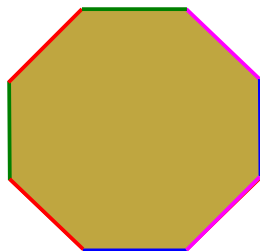
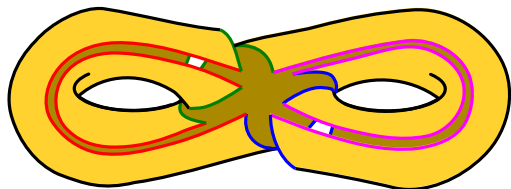


Schéma canonique de \mathcal{M}_2 : $(a, b, \bar{a}, \bar{b}, c, d, \bar{c}, \bar{d}) = [a, b][c, d]$

Schéma canonique de \mathcal{M}_g : $[a_1, b_1][a_2, b_2] \dots [a_g, b_g]$

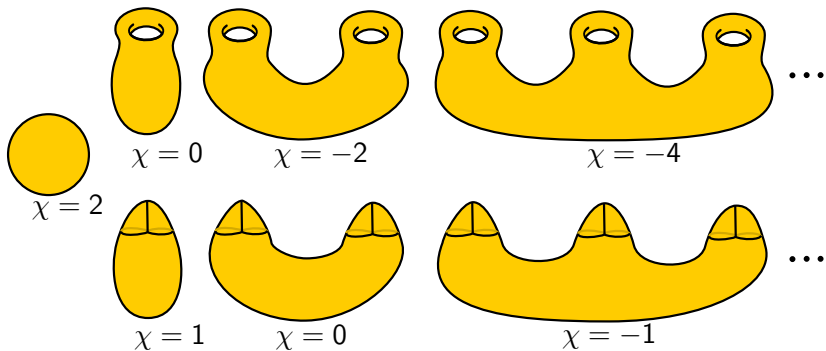
Proposition

2 surfaces ayant des schémas canoniques distincts ne sont par homéomorphes.

Preuve cas orientable : $\chi(\mathcal{M}) = S - A + F = 1 - A'/2 + 1$, i.e.
 $A' = 4 - 2\chi(\mathcal{M})$ □

Théorème

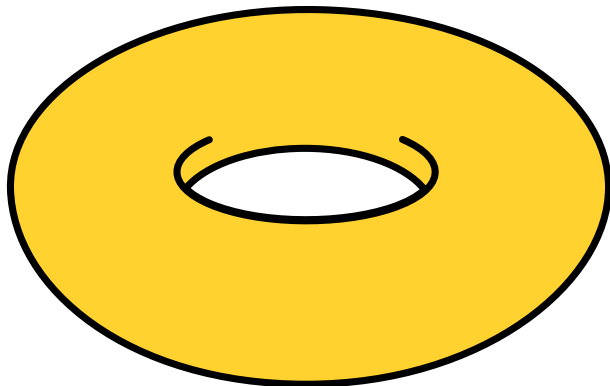
Deux surfaces (compactes sans bord) sont homéomorphes ssi elles ont même caractéristique et orientabilité.



Le genre

On pose $\chi(\mathcal{M}) = 2 - 2g$

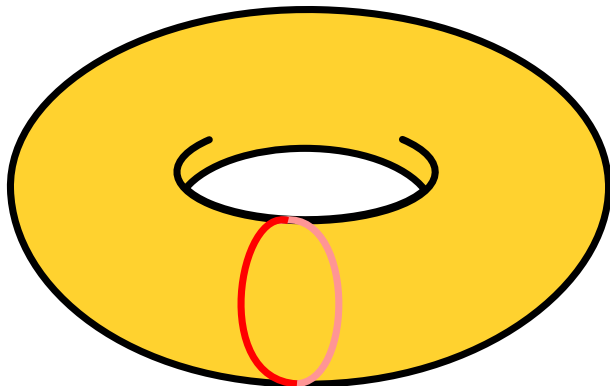
g est le nombre maximal de cycles disjoints qui ne déconnectent pas \mathcal{M} .



Le genre

On pose $\chi(\mathcal{M}) = 2 - 2g$

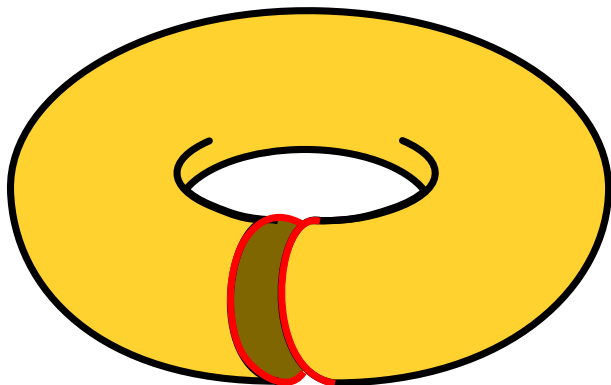
g est le nombre maximal de cycles disjoints qui ne déconnectent pas \mathcal{M} .



Le genre

On pose $\chi(\mathcal{M}) = 2 - 2g$

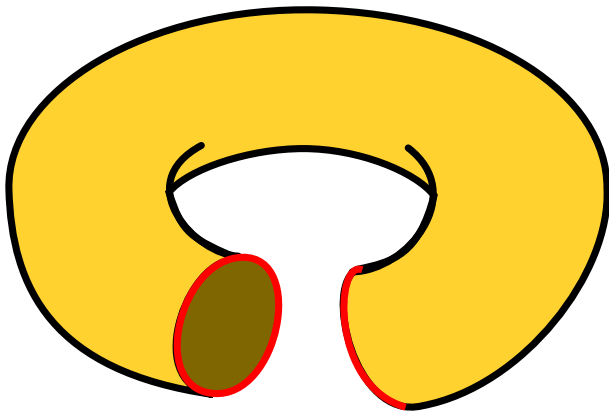
g est le nombre maximal de cycles disjoints qui ne déconnectent pas \mathcal{M} .



Le genre

On pose $\chi(\mathcal{M}) = 2 - 2g$

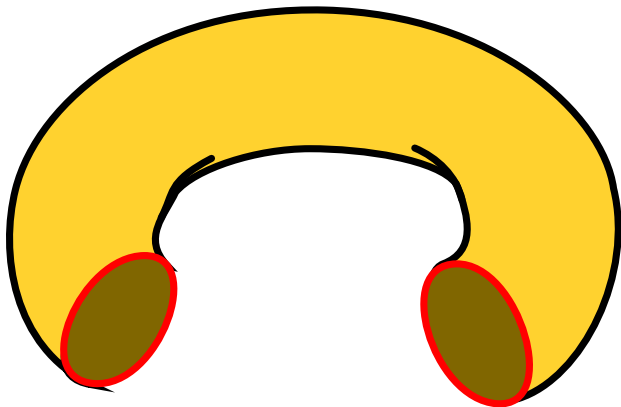
g est le nombre maximal de cycles disjoints qui ne déconnectent pas \mathcal{M} .



Le genre

On pose $\chi(\mathcal{M}) = 2 - 2g$

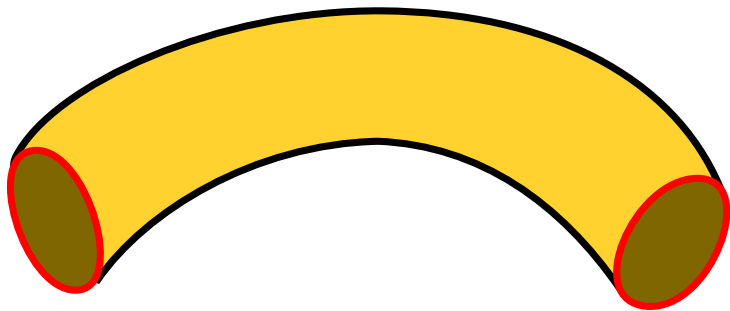
g est le nombre maximal de cycles disjoints qui ne déconnectent pas \mathcal{M} .



Le genre

On pose $\chi(\mathcal{M}) = 2 - 2g$

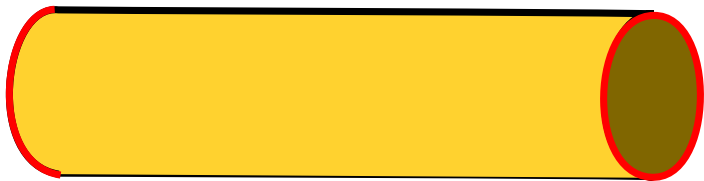
g est le nombre maximal de cycles disjoints qui ne déconnectent pas \mathcal{M} .



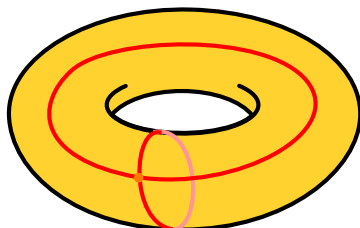
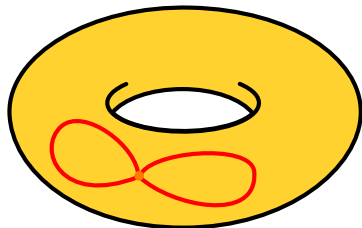
Le genre

On pose $\chi(\mathcal{M}) = 2 - 2g$

g est le nombre maximal de cycles disjoints qui ne déconnectent pas \mathcal{M} .



Plongement cellulaire

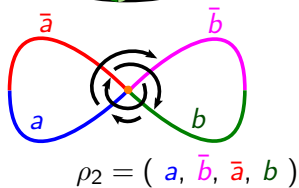
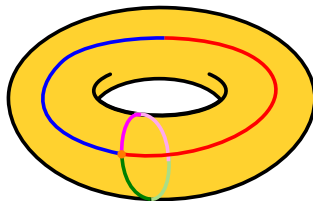
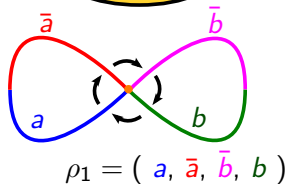
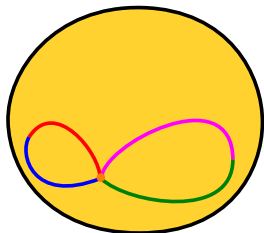


Formule d'Euler

Pour tout plongement cellulaire π dans une surface \mathcal{M} on a

$$S(\pi) - A(\pi) + F(\pi) = \chi(\mathcal{M})$$

Carte combinatoire (orientable) I



Définition

Une carte combinatoire (G, ρ) est la donnée d'un graphe G et d'un système de rotations ρ .

Carte combinatoire (orientable) II

Théorème

À tout $\pi : G \rightarrow \mathcal{M}$ on peut associer une carte (G, ρ) .

Réciproquement, pour toute (G, ρ) on peut construire $\pi : G \rightarrow \mathcal{M}$ dont (G, ρ) est la carte associée.

En particulier, les faces de π sont les cycles de $\bar{\rho} = \bar{\tau} \circ \rho$

Carte combinatoire (orientable) II

Théorème

À tout $\pi : G \rightarrow \mathcal{M}$ on peut associer une carte (G, ρ) .

Réciproquement, pour toute (G, ρ) on peut construire $\pi : G \rightarrow \mathcal{M}$ dont (G, ρ) est la carte associée.

En particulier, les faces de π sont les cycles de $\bar{\rho} = \bar{\cdot} \circ \rho$

Carte combinatoire (orientable) II

Théorème

À tout $\pi : G \rightarrow \mathcal{M}$ on peut associer une carte (G, ρ) .

Réciproquement, pour toute (G, ρ) on peut construire $\pi : G \rightarrow \mathcal{M}$ dont (G, ρ) est la carte associée.

En particulier, les faces de π sont les cycles de $\bar{\rho} = \bar{\cdot} \circ \rho$

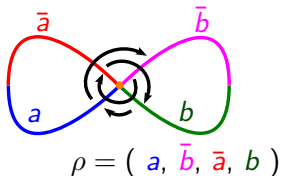
Carte combinatoire (orientable) II

Théorème

À tout $\pi : G \rightarrow \mathcal{M}$ on peut associer une carte (G, ρ) .

Réciproquement, pour toute (G, ρ) on peut construire $\pi : G \rightarrow \mathcal{M}$ dont (G, ρ) est la carte associée.

En particulier, les faces de π sont les cycles de $\bar{\rho} = \bar{\tau} \circ \rho$



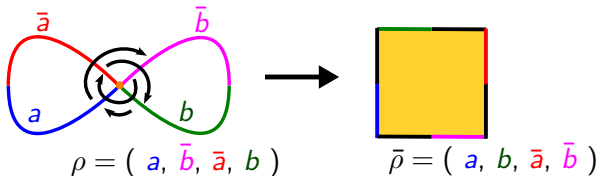
Carte combinatoire (orientable) II

Théorème

À tout $\pi : G \rightarrow \mathcal{M}$ on peut associer une carte (G, ρ) .

Réciproquement, pour toute (G, ρ) on peut construire $\pi : G \rightarrow \mathcal{M}$ dont (G, ρ) est la carte associée.

En particulier, les faces de π sont les cycles de $\bar{\rho} = \bar{\tau} \circ \rho$



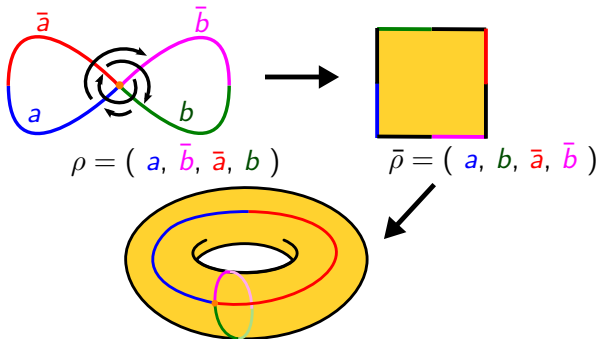
Carte combinatoire (orientable) II

Théorème

À tout $\pi : G \rightarrow \mathcal{M}$ on peut associer une carte (G, ρ) .

Réciproquement, pour toute (G, ρ) on peut construire $\pi : G \rightarrow \mathcal{M}$ dont (G, ρ) est la carte associée.

En particulier, les faces de π sont les cycles de $\bar{\rho} = \bar{\tau} \circ \rho$



Corollaire

Tout graphe G se plonge dans une surface.

Preuve : Choisir un ρ sur G et le réaliser !



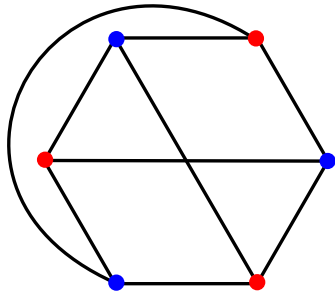
Existence de plongement

Corollaire

Tout graphe G se plonge dans une surface.

Preuve : Choisir un ρ sur G et le réaliser ! □

Preuve topologique :



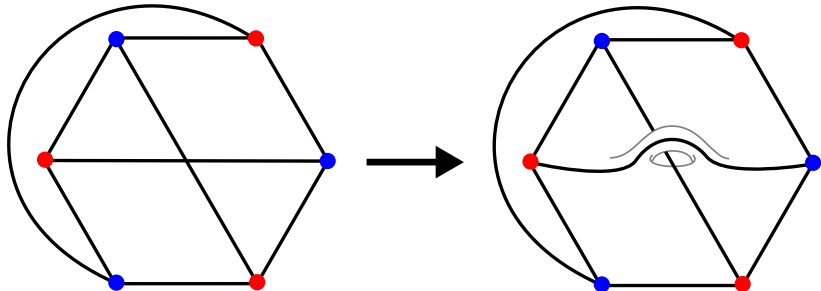
Existence de plongement

Corollaire

Tout graphe G se plonge dans une surface.

Preuve : Choisir un ρ sur G et le réaliser ! □

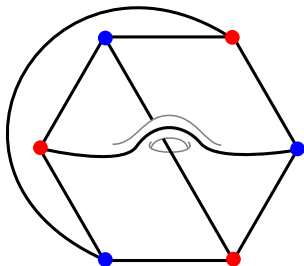
Preuve topologique :



Définition

$$g(G) = \min\{g \mid \exists \pi : G \rightarrow \mathcal{M}_g\}$$

Rq : Le plongement dans $\mathcal{M}_g(G)$ est nécessairement cellulaire.

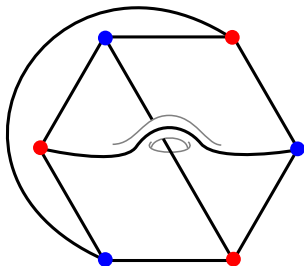


Exemple : $g(K_{3,3}) = 1$.

Définition

$$g(G) = \min\{g \mid \exists \pi : G \rightarrow \mathcal{M}_g\}$$

Rq : Le plongement dans $\mathcal{M}_g(G)$ est nécessairement cellulaire.



Exemple : $g(K_{3,3}) = 1$.

Théorème (Thomassen, 1989)

Le calcul de $g(G)$ est NP-difficile.

Dit autrement, le problème de décision ($g(G) \leq k$?) est NP-complet.

Rq : Puisque plongement \sim système de rotations, on peut tester le genre associé à chaque système de rotations. Il y a

$$\prod_{s \in S(G)} (\deg(s) - 1)!$$

systèmes distincts...

Théorème (Thomassen, 1989)

Le calcul de $g(G)$ est NP-difficile.

Dit autrement, le problème de décision ($g(G) \leq k$?) est NP-complet.

Rq : Puisque plongement \sim système de rotations, on peut tester le genre associé à chaque système de rotations. Il y a

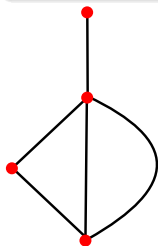
$$\prod_{s \in S(G)} (\deg(s) - 1)!$$

systèmes distincts...

Définition

mineur de G : tout graphe obtenu à partir de G en

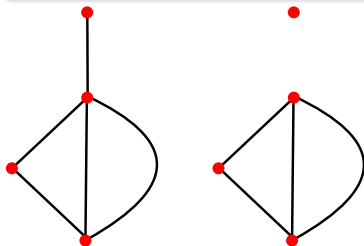
- 1 supprimant des arêtes,
- 2 supprimant des sommets isolés,
- 3 contractant des arêtes.



Définition

mineur de G : tout graphe obtenu à partir de G en

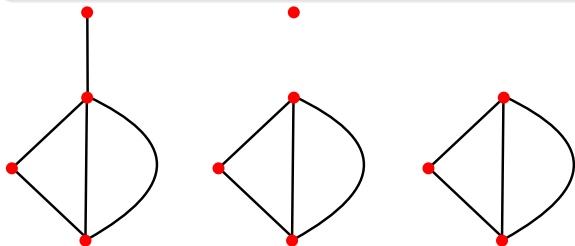
- 1 supprimant des arêtes,
- 2 supprimant des sommets isolés,
- 3 contractant des arêtes.



Définition

mineur de G : tout graphe obtenu à partir de G en

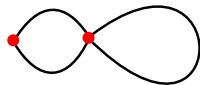
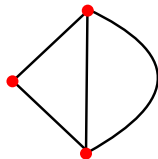
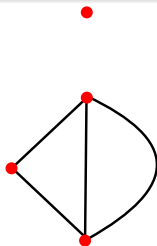
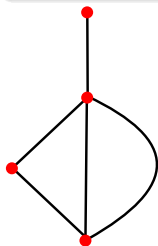
- 1 supprimant des arêtes,
- 2 supprimant des sommets isolés,
- 3 contractant des arêtes.



Définition

mineur de G : tout graphe obtenu à partir de G en

- 1 supprimant des arêtes,
- 2 supprimant des sommets isolés,
- 3 contractant des arêtes.



Th. de Kuratowski (bis)

G planaire ssi ni $K_{3,3}$ ni K_5 n'en sont des mineurs.

Th. Robertson-Seymour, 1985 (Conjecture de Wagner)

Dans toute suite infinie de graphes, l'un est un mineur d'un autre.

Corollaire (th. des mineurs exclus)

Toute famille \mathcal{F} de graphes stable par mineur est caractérisée par une famille **finie** de mineurs exclus.

preuve : Soit $M = \{G \notin \mathcal{F} \mid H < G \implies H \in \mathcal{F}\}$.

• $H \in \mathcal{F} \iff \forall G \in M : G \not\leq H$

• Or, par Robertson-Seymour, M est fini. □

Th. de Kuratowski (bis)

G planaire ssi ni $K_{3,3}$ ni K_5 n'en sont des mineurs.

Th. Robertson-Seymour, 1985 (Conjecture de Wagner)

Dans toute suite infinie de graphes, l'un est un mineur d'un autre.

Corollaire (th. des mineurs exclus)

Toute famille \mathcal{F} de graphes stable par mineur est caractérisée par une famille **finie** de mineurs exclus.

preuve : Soit $M = \{G \notin \mathcal{F} \mid H < G \implies H \in \mathcal{F}\}$.

• $H \in \mathcal{F} \iff \forall G \in M : G \not\leq H$

• Or, par Robertson-Seymour, M est fini. □

Th. de Kuratowski (bis)

G planaire ssi ni $K_{3,3}$ ni K_5 n'en sont des mineurs.

Th. Robertson-Seymour, 1985 (Conjecture de Wagner)

Dans toute suite infinie de graphes, l'un est un mineur d'un autre.

Corollaire (th. des mineurs exclus)

Toute famille \mathcal{F} de graphes stable par mineur est caractérisée par une famille **finie** de mineurs exclus.

preuve : Soit $M = \{G \notin \mathcal{F} \mid H < G \implies H \in \mathcal{F}\}$.

• $H \in \mathcal{F} \iff \forall G \in M : G \not\leq H$

• Or, par Robertson-Seymour, M est fini. □

Th. de Kuratowski (bis)

G planaire ssi ni $K_{3,3}$ ni K_5 n'en sont des mineurs.

Th. Robertson-Seymour, 1985 (Conjecture de Wagner)

Dans toute suite infinie de graphes, l'un est un mineur d'un autre.

Corollaire (th. des mineurs exclus)

Toute famille \mathcal{F} de graphes stable par mineur est caractérisée par une famille **finie** de mineurs exclus.

preuve : Soit $M = \{G \notin \mathcal{F} \mid H < G \implies H \in \mathcal{F}\}$.

- $H \in \mathcal{F} \Leftrightarrow \forall G \in M : G \not\preceq H$
- Or, par Robertson-Seymour, M est fini. □

Th. de Kuratowski (bis)

G planaire ssi ni $K_{3,3}$ ni K_5 n'en sont des mineurs.

Th. Robertson-Seymour, 1985 (Conjecture de Wagner)

Dans toute suite infinie de graphes, l'un est un mineur d'un autre.

Corollaire (th. des mineurs exclus)

Toute famille \mathcal{F} de graphes stable par mineur est caractérisée par une famille **finie** de mineurs exclus.

preuve : Soit $M = \{G \notin \mathcal{F} \mid H < G \implies H \in \mathcal{F}\}$.

- $H \in \mathcal{F} \Leftrightarrow \forall G \in M : G \not\preceq H$

- Or, par Robertson-Seymour, M est fini. □

Th. de Kuratowski (bis)

G planaire ssi ni $K_{3,3}$ ni K_5 n'en sont des mineurs.

Th. Robertson-Seymour, 1985 (Conjecture de Wagner)

Dans toute suite infinie de graphes, l'un est un mineur d'un autre.

Corollaire (th. des mineurs exclus)

Toute famille \mathcal{F} de graphes stable par mineur est caractérisée par une famille **finie** de mineurs exclus.

preuve : Soit $M = \{G \notin \mathcal{F} \mid H < G \implies H \in \mathcal{F}\}$.

- $H \in \mathcal{F} \Leftrightarrow \forall G \in M : G \not\preceq H$
- Or, par Robertson-Seymour, M est fini. □

Corollaire

Pour tout g , \exists une famille **finie** de graphes \mathcal{F}_g telle que H se plonge dans $\mathcal{M}_g \Leftrightarrow H$ n'a aucun mineur dans \mathcal{F}_g .

Exemple : $|\mathcal{F}_0| = 2$ (Kuratowski), $|\mathcal{F}_1| > 10^4$

Corollaire

Pour tout g , \exists un algorithme de complexité polynomiale pour tester si un graphe se plonge dans \mathcal{M}_g .

Corollaire

Pour tout g , \exists une famille **finie** de graphes \mathcal{F}_g telle que H se plonge dans $\mathcal{M}_g \Leftrightarrow H$ n'a aucun mineur dans \mathcal{F}_g .

Exemple : $|\mathcal{F}_0| = 2$ (Kuratowski), $|\mathcal{F}_1| > 10^4$

Corollaire

Pour tout g , \exists un algorithme de complexité polynomiale pour tester si un graphe se plonge dans \mathcal{M}_g .

FIN

Retrouvez ces transparents et une bibliographie sur

<http://www.gipsa-lab.fr/~francis.lazarus/>